

которых диапазон изменений  $q$  достаточен для вычисления интеграла (4). Это оказалось возможным для атомов с  $Z=6, 14, 18, 26, 32$  и  $36$ .

Таким образом, функция экранирования, восстановленная из данных по комптоновскому рассеянию, достаточно хорошо описывает средние значения энергии  $\langle e^n \rangle$  для атомов. Значительные различия при  $n=1$  между (4) и (5), как, впрочем, и с результатами модели Томаса—Ферми, вызваны неточностью интегрирования. Это первый вывод настоящей работы.

Диапазон атомных номеров, для которых комптоновские профили измерены, ограничен. Это не позволило нам провести соответствующие расчеты и сравнение для атомов с  $Z > 36$ . Если же возникает вопрос о решении обратной задачи, то здесь, вероятно, следует рекомендовать область  $-1/4 \leq n \leq 3/2$ . Решение задачи вне этой области может привести к превышению точности.

### Список литературы

- [1] Gerasimov S. A., Volkov V. F. // Czech. J. Phys. 1988. Vol. B38. N 11. P. 1202—1209.
- [2] Волков В. Ф., Герасимов С. А. // Изв. вузов. Физика. 1984. Т. 27. № 9. С. 120—121.
- [3] Краснов М. Л. Интегральные уравнения. М.: Наука, 1975. 304 с.
- [4] Карлсон Т. А. Фотоэлектронная и оже-спектроскопия. Л.: Машиностроение, 1981. 431 с.
- [5] Reed W. A., Eisenberger P. // Phys. Rev. B. 1972. Vol. 6. N 12. P. 4596—4604.
- [6] Phillips W. C., Weiss R. J. // Phys. Rev. B. 1972. Vol. 6. N 11. P. 4213—4219.
- [7] Eisenberger P., Reed W. A. // Phys. Rev. A. 1972. Vol. 5. N 5. P. 2085—2094.

Ростовский-на-Дону  
государственный университет  
Научно-исследовательский  
институт физики

Поступило в Редакцию  
7 декабря 1988 г.  
В окончательной редакции  
22 мая 1989 г.

05; 12

Журнал технической физики, т. 60, в. 6, 1990

© 1990 г.

## ВЛИЯНИЕ РЕАЛЬНОЙ СТРУКТУРЫ КРИСТАЛЛОВ $\alpha$ -LiIO<sub>3</sub> НА ИХ ЭЛЕКТРИЧЕСКИЕ ХАРАКТЕРИСТИКИ

Н. А. Захаров, А. В. Егоров, Н. С. Козлова, О. Г. Портнов, В. Н. Носов

Электрические свойства кристаллов  $\alpha$ -LiIO<sub>3</sub> представляют особый интерес в связи с возможностью их использования в устройствах акусто- и оптоэлектроники. Однако приводимые в литературе сведения о диэлектрических и пьезоэлектрических характеристиках этих кристаллов весьма противоречивы [1]. В то же время имеющиеся данные о зависимости пьезоэлектрических характеристик кристаллов  $\alpha$ -LiIO<sub>3</sub> от примесей и условий выращивания [1] позволяют предположить возможность влияния реальной структуры объекта на его электрические свойства. В настоящей работе приводятся результаты тестирования распределения электрических характеристик в объеме кристаллов  $\alpha$ -LiIO<sub>3</sub>.

Использованные для исследования монокристаллы  $\alpha$ -LiIO<sub>3</sub> выращивали из водного раствора методом испарения растворителя при контролируемом отборе конденсата со скоростью роста вдоль оси  $z$  0.1—0.3 мм/сут при температуре 40 °C и кислотности раствора  $pH=1.8$ —2.5. В качестве затравки использовали срез призматической части кристалла. Кристаллы были бесцветны, прозрачны, имели призматический габитус и ограничены призмой {1010} и пирамидой {1011} (рис. 1, а). По результатам рентгеновских исследований монокристаллы относились к  $\alpha$ -фазе LiIO<sub>3</sub> гексагональной модификации, параметры элементарной ячейки  $a=5.48$ ,  $c=5.17$  Å, пр. гр.  $P6_3$ .

Величины пьезомодулей  $d_{31}$  определяли квазистатическим ( $f=100$  Гц) методом [2], диэлектрические характеристики  $\epsilon_{ij}$  и  $\operatorname{tg} \delta_{ij}$  — мостовым методом ( $f=1$  кГц). Значения коэффициента электромеханической связи (КЭМС)  $K_{ij}$  в соответствии с [2] вычисляли как  $K^2 = (\epsilon^T - \epsilon^S)/\epsilon^T$ , где  $\epsilon^T$ ,  $\epsilon^S$  — диэлектрические проницаемости механически свободного и механически зажатого кристаллов. Для измерения использовали аквадаговые электроды. Точность ориентации образцов была не хуже 2°. Погрешность определения пьезомодулей составляла 5 %,  $\epsilon$  и  $\operatorname{tg} \delta$  — 8 %. Для исследования распределения электрических характеристик по высоте и ширине кристалла монокристаллическую булю препарировали на плоскопараллельные пластины, каждая из которых разрезалась затем в соответствии с рис. 1, а.

Распределение электрических характеристик в объеме исследованных кристаллов, приведенное на рис. 1, б, в, согласуется с результатами изучения структурного совершенства кристаллов  $\alpha\text{-LiIO}_3$  [1]. Начало разрастания затравочной пластины  $z$ -среза сопровождается ее переограничением, застанием отдельными пирамидами грани (0001) при одновременном быстром формировании от краев затравочной пластины граней {1011}. В результате в нижней части монокристаллической були у затравочной пластины образуется конусообразная переходная область (рис. 1, а, пунктир) низкого кристаллического совершенства, которой соответствуют наибольшие значения  $\epsilon_{33}$  и  $\operatorname{tg} \delta_{33}$ . Образующиеся в переходной области трещины распространяются в более совершенные верхние части кристалла, а включения раствора и посторонних частиц на гранях {1011} приводят к появлению дислокаций.

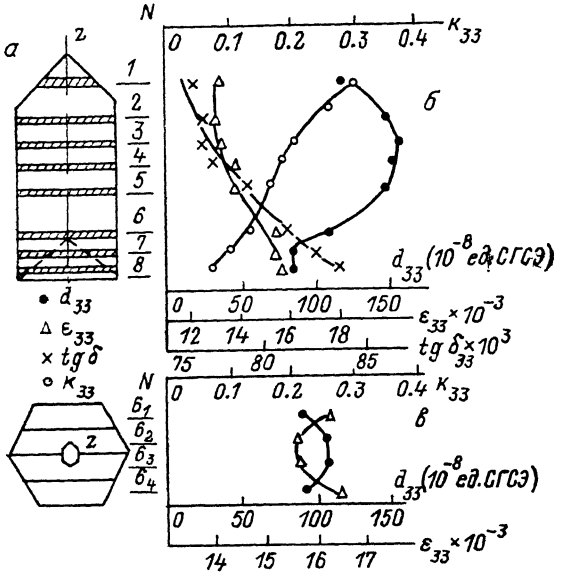


Рис. 1. Распределение пьезоэлектрических и диэлектрических характеристик монокристаллов  $\alpha\text{-LiIO}_3$  в объеме кристаллической були (при температуре 20 °C).

а — схема препарирования монокристалла (конусообразная переходная область (пунктир)); б — распределение по высоте кристалла; в — распределение по ширине в G-м срезе кристалла.

Распространяясь по нормалям к пирамидальным граням, дислокации по мере роста кристалла выходят на призматические грани були, где наблюдается их максимальная плотность. Плотность дислокаций уменьшается от затравки к вершине кристалла, и боковой прирост оказывается менее совершенным, включая больше примесей и дефектов, чем центральная часть кристалла.

С описанными закономерностями реальной структуры кристалла  $\alpha\text{-LiIO}_3$  согласуются измеренные зависимости электрических характеристик для всей партии из 6 таких кристаллов (рис. 1, б, в). Совершенная часть кристалла отличается меньшими значениями  $\epsilon_{33}$  и  $\operatorname{tg} \delta_{33}$ , чем боковой прирост. При этом для верхних областей кристалла характерны большие значения  $K_{33}$ , мак-

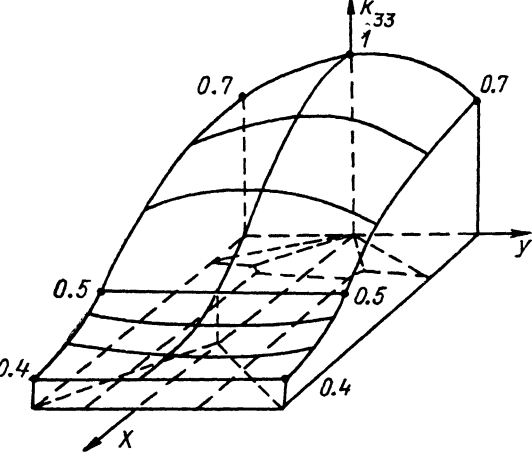


Рис. 2. Указательная поверхность (нормированная к единице) КЭМС  $K_{33}$  в объеме монокристаллической були  $\alpha\text{-LiIO}_3$ .

симимальные значения которых отмечены для центральной части монокристаллической були. Характер изменения  $d_{33}$  по высоте и ширине кристалла в нижней и средней частях були соответствует таковому для  $K_{33}$ . Наибольшие значения  $d_{33}$  зафиксированы для центральной части були на высоте перехода ее призматической огранки в пирамидальную. При этом пирамидальной части кристалла соответствует уменьшение  $d_{33}$  в сечениях, близких к вершине були, до значений, соответствующих области, примыкающей к конусообразной несовершенной части були. Искрывающая интерпретация подобного поведения  $d_{33}$  в настоящей работе не представляется возможной ввиду недостатка экспериментальных данных. Однако учитывая взаимную зависимость электрических и упругих характеристик кристалла, в соответствии с которой имеет место соотношение  $K = d_{ij}/(\epsilon^T S_{jj}^E/4\pi)^{1/2}$  ( $S_{jj}^E$  — упругие податливости при постоянном электрическом поле) [2], измеренный характер изменения  $d_{33}$

по высоте були может представляться оправданным. На рис. 2 построена характеристическая поверхность  $K_{33}$  монокристаллической були, нормированная к единице.

Полученные результаты объясняют имеющие место расхождения литературных данных о величине электрических характеристик кристаллов  $\alpha\text{-LiIO}_3$ . Рис. 2 наглядно показывает, что анализ экспериментальных данных необходимо проводить с учетом влияния структурного

Компоненты матриц  $d_{lm}$ ,  $\epsilon_{ij}$  ( $U_{\text{нзм}} \leq 80$  В,  $f = 2$  кГц)  
и величины  $K_{ij}$  монокристаллов  $\alpha\text{-LiIO}_3$   
при комнатной температуре\*

$d_{lm} \cdot 10^{-8}$ , ед. СГСЭ			$\epsilon_{ij}^S$		$K_{ij}$	
$d_{15}$	$d_{31}$	$d_{53}$	$\epsilon_{11} = \epsilon_{22}$	$\epsilon_{33}$	$K_{33}$	$K_{31}$
111	7.1	97	300	1000	0.37	0.35

совершенства кристаллов и места расположения выбранного для исследования образца в объеме були. Типичные значения компонент матриц  $d_{lm}$ ,  $\epsilon_{ij}$  и величин КЭМС  $K_{ij}$ , измеренные нами для образцов из средней части монокристаллической були, приведены в таблице.

Учет полученных результатов позволит оптимизировать препарирование кристаллов на рабочие элементы с заданным набором или распределением свойств.

#### Список литературы

- [1] Аедиенко К. И., Богданов С. В., Архипов С. М. и др. Иодат лития. Выращивание кристаллов, их свойства и применение. Новосибирск: Наука, 1980. 144 с.  
[2] Смаковская Е. Г., Фельдман Н. Б. Пьезоэлектрическая керамика. М.: Сов. радио, 1971. 199 с.

10; 12

Журнал технической физики, т. 60, с. 6, 1990

© 1990 г.

#### СЕЛЕКТИВНАЯ ФОТОИОНИЗАЦИЯ АТОМОВ ИНДИЯ В ГИПЕРБОЛОИДНОМ МАСС-СПЕКТРОМЕТРЕ ТИПА ТРЕХМЕРНОЙ ЛОВУШКИ

Э. П. Шеретов, А. И. Суслов, Б. И. Колотилин, А. Б. Ястребков,  
Н. В. Веселкин, В. К. Комов, С. П. Овчинников

Гиперболоидные масс-спектрометры типа трехмерной ловушки (ГМС) в настоящее время широко начинают использовать в технике и науке [1]. Недавно был создан масс-спектрометр этого типа для автоматической межпланетной станции «Вега» по международной программе «Венера—комета Галлея» [2]. В настоящей работе сообщается о реализации метода селективной фотоионизации атомов индия в таком приборе.

В работе [3, 4] высказана идея двухмерного масс-спектрометра. Экспериментальные исследования проводились в этих работах с использованием времязадерживающих масс-спектрометров.

Применение ГМС позволяет реализовывать непрерывный режим накопления ионов, что особенно важно при детектировании следовых количеств вещества. Кроме этого, одновременно с накоплением ионов осуществляется их селекция по массам, что существенно снижает влияние фона.

Селективная фотоионизация атомов индия осуществлялась с помощью излучения перестраиваемого лазера на красителях, возбуждаемого импульсным азотным лазером. Излучение направлялось в вакуумную камеру, в которой находилась электродная система анализатора ГМС, вдоль одной из асимптот электродной системы (рис. 1). Вдоль другой асимптоты в рабочий объем ГМС входил пучок атомов индия, полученный с помощью термического атомизатора.